

· 研究论文 ·

## 新型含双酚衍生物三枝氟硼二吡咯染料的合成及其光物理性能

丁丽萍, 祁欣\*, 王南翔, 甄文

(南京航空航天大学材料科学与技术学院, 江苏南京 210016)

**摘要:** 以三聚氯氰为原料合成含醛基的二酚氧基取代中间体(**1**); **1** 分别与酚衍生物(**2a**~**2e**)经取代反应制得三酚氧基中间体(**3a**~**3e**); **3a**~**3e**经缩合、氧化和配位等反应合成了5个新型的含双酚衍生物三枝氟硼二吡咯(BODIPY)荧光染料(**4a**~**4e**),其结构经<sup>1</sup>H NMR, <sup>13</sup>C NMR和HR-MS(ESI)表征。**4a**~**4e**的最大吸收波长和发射波长分别位于499 nm和508 nm,荧光量子产率为0.41~0.55,显示出BODIPY荧光核典型的光物理性能。

**关键词:** 三聚氯氰; 氟硼二吡咯; 三酚氧基取代; 三枝; 合成; 荧光染料

中图分类号: O626.13; O626.29 文献标志码: A DOI: 10.15952/j.cnki.cjsc.1005-1511.2017.07.16324

## Synthesis and Photophysical Properties of Novel Tripod BODIPY Dyes Bearing Bis-Phenolic Derivatives

DING Li-ping, QI Xin\*, WANG Nan-xiang, ZHEN Wen

(College of Material Science and Technology, Nanjing University of Aeronautics and Astronautics, Nanjing 210016, China)

**Abstract:** A bis-phenoxy substituted intermediate(**1**) bearing an aldehyde group was synthesized from cyanuric chloride. A series of tris-phenoxy substituted intermediates(**3a**~**3e**) were synthesized by nucleophilic substitution of **1** with phenolic nucleophiles(**2a**~**2e**). Five new tripod boron dipyrromethene (BODIPY) dyes(**4a**~**4e**) bearing bis-phenolic derivatives were synthesized by condensation, oxidation, and coordination reaction from **3a**~**3e**. The structures were characterized by <sup>1</sup>H NMR, <sup>13</sup>C NMR and HR-MS(ESI). The maximum absorption wavelength and emission wavelength of **4a**~**4e** located around 499 nm and 508 nm, respectively. And the fluorescent quantum yields were between 0.41~0.55. That indicated the typical photophysical properties of the BODIPY fluorophore.

**Keywords:** cyanuric chloride; boron dipyrromethene; tris-phenoxy substitution; tripod; synthesis; fluorescent dye

氟硼二吡咯(BODIPY)具有高消光系数、高荧光量子产率以及对光和化学反应的高稳定性,是近30年中发展起来的一种非常重要的荧光材料<sup>[1-2]</sup>,被广泛应用于荧光标记<sup>[3]</sup>、化学传感

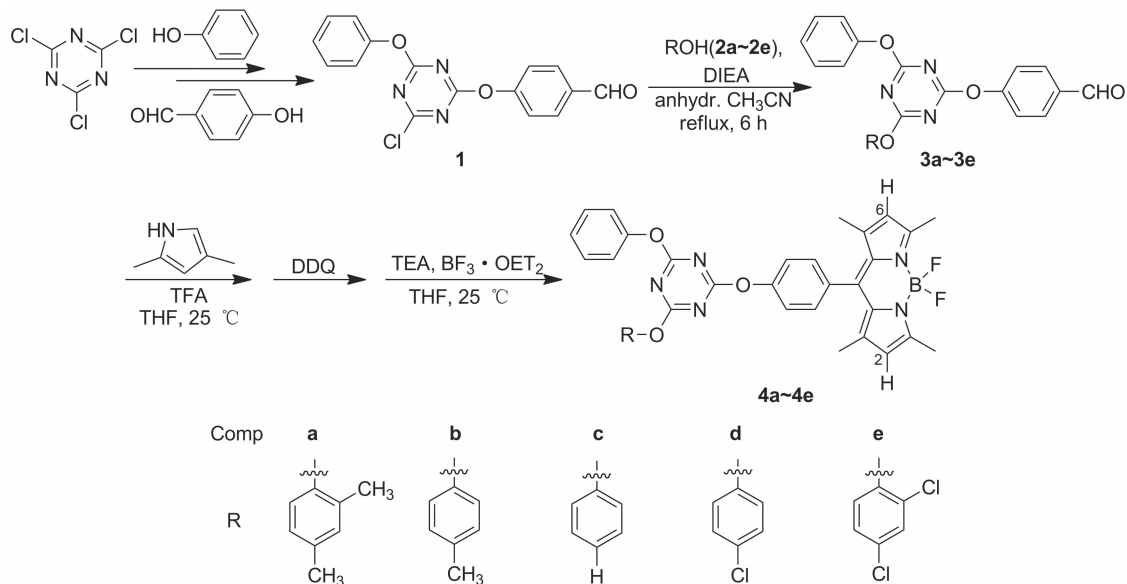
器<sup>[4]</sup>、太阳能转换<sup>[5]</sup>及光动力治疗剂<sup>[6]</sup>等诸多领域。目前已有大量有关该类荧光材料结构的研究,以提高荧光量子产率、实现红/近红外发射、增大斯托克斯位移及增强光稳定性等<sup>[7-8]</sup>。其中,

收稿日期: 2016-12-23; 修订日期: 2017-05-24

基金项目: 南京航空航天大学科研启动基金资助项目; 江苏高校优势学科建设工程项目

作者简介: 丁丽萍(1991-),女,汉族,江苏泰州人,硕士研究生,主要从事有机功能材料的合成研究。E-mail: dingliping91@163.com

通信联系人: 祁欣,教授, E-mail: qixin@nuaa.edu.cn



对于荧光团<sup>[9-11]</sup>和8-位芳环<sup>[12-13]</sup>的后期修饰是两种常用的拓展结构多样性和改变BODIPY性能的途径。

对于8-位芳环的化学修饰,由于荧光核平面与芳环平面近于相互垂直,在芳环上引入官能团几乎不会对BODIPY光物理性能产生影响,因此,该途径被更多地用于引入某些化学官能团以实现特定的性能和应用,如基于光诱导电子转移(PET)类的荧光传感器<sup>[14-16]</sup>。按照这种合成方案,文献报导了一种由1,3,5-三噁嗪环桥联的三枝BODIPY结构<sup>[17-19]</sup>,分别联接BODIPY的8-位芳基和两个亲核基团,其合成路线基于三聚氯氰在不同温度下的顺次亲核取代反应。该方法操作简便、通用,既可引入了不同的官能团又无需化学修饰BODIPY荧光核母体结构。

在本课题组前期报道的单酚三枝BODIPY工作基础上<sup>[20]</sup>,为进一步拓展结构的多样性和合成条件,本文以三聚氯氰为原料合成二酚氧基取代中间体(1),进而与5个酚衍生物经取代反应制得系列三取代中间体3a~3e,再经缩合、氧化和配位等反应合成了5个新型的含双酚衍生物的三枝氟硼二吡咯染料(4a~4e, Scheme 1),其结构经<sup>1</sup>H NMR, <sup>13</sup>C NMR和HR-MS(ESI)表征。并研究了化合物的光物理性质。

## 1 实验部分

### 1.1 仪器与试剂

WRS-1A型数字熔点仪(温度未校正);UV-1800型紫外-可见分光光度计;Bruker AVANCE(III) 400MHz型核磁共振仪(CDCl<sub>3</sub>为溶剂,TMS为内标);IR Affinity-1型红外光谱仪(KBr压片);Bruker Daltonics micrOTOF-Q II型质谱仪;Cary Eclipse型荧光分光光度计。

1 参考文献<sup>[20]</sup>方法合成;三聚氯氰(99%),Aldrich;其余所用试剂均为分析纯,其中无水四氢呋喃、苯和甲苯采用钠和二苯甲酮经回流处理,乙腈和液体有机叔胺用分子筛干燥。

以荧光素的0.1 mol·L<sup>-1</sup> NaOH溶液( $\Phi_f = 0.85$ )为标准计算荧光量子产率<sup>[20]</sup>。

### 1.2 合成

#### (1) 3a~3e的合成(以3a为例)

氮气保护下,在反应瓶中加入1 328 mg(1.0 mmol)、乙腈20 mL、2,4-二甲基苯酚(2a)184 mg(1.5 mmol)和*N,N*-二异丙基乙胺(DIEA)0.33 mL(2.0 mmol),搅拌下回流反应6 h。冷却至室温,减压浓缩,加入二氯甲烷30 mL,依次用1 mol·L<sup>-1</sup>盐酸(10 mL)、水(10 mL)、5%碳酸钠溶液(2×10 mL)及水(10 mL)洗涤,无水硫酸钠干燥,减压浓缩后,经硅胶柱层析[洗脱剂:V(乙酸乙酯):V(石油醚)=1:10]纯化得白色固体3a 238 mg。

分别用2b~2e代替2a,用类似的方法合成3b~3e。

3a: 产率57.4%, m. p. 126.4~127.7 °C;

$^1\text{H NMR } \delta$ : 9.98(s, 1H, CHO), 7.87(d,  $J=8.4$  Hz, 2H), 7.35(t,  $J=7.6$  Hz, 2H), 7.30(d,  $J=8.4$  Hz, 2H), 7.22(t,  $J=7.6$  Hz, 1H), 7.12(d,  $J=8.0$  Hz, 2H), 7.02(s, 1H), 6.99(d,  $J=8.4$  Hz, 1H), 6.91(d,  $J=8.0$  Hz, 1H), 2.30(s, 3H), 2.13(s, 3H);  $^{13}\text{C NMR } \delta$ : 190.8, 173.8, 173.0, 156.0, 151.5, 148.0, 136.0, 135.6, 134.0, 131.2, 127.6, 126.2, 122.2, 121.4, 121.0, 20.8, 16.2; IR  $\nu$ : 2 918( $\text{CH}_3$ ), 2 852( $\text{CH}_3$ ), 1 678( $\text{C}=\text{O}$ )  $\text{cm}^{-1}$ ; MS  $m/z$ : Calcd for  $\text{C}_{24}\text{H}_{19}\text{N}_3\text{O}_4$   $\{[\text{M} + \text{H}]^+\}$  414.1, found 414.1。

**3b**: 白色固体 243 mg, 产率 60.8%, m. p. 121.3 ~ 123.4  $^\circ\text{C}$ ;  $^1\text{H NMR } \delta$ : 9.99(s, 1H, CHO), 7.88(d,  $J=8.0$  Hz, 2H), 7.24(m, 1H), 7.36(t,  $J=7.6$  Hz, 4H), 7.31(d,  $J=8.0$  Hz, 2H), 7.14(t,  $J=9.2$  Hz, 4H), 7.01(d,  $J=8.0$  Hz, 2H), 2.34(s, 3H);  $^{13}\text{C NMR } \delta$ : 190.7, 173.9, 173.0, 156.0, 151.1, 149.2, 136.1, 133.9, 129.7, 126.3, 122.3, 121.3, 120.9, 21.1; IR  $\nu$ : 3 052(ArH), 2 923( $\text{CH}_3$ ), 2 840( $\text{CH}_3$ ), 1 700( $\text{C}=\text{O}$ )  $\text{cm}^{-1}$ ; HR-MS  $m/z$ : Calcd for  $\text{C}_{23}\text{H}_{17}\text{N}_3\text{O}_4$   $\{[\text{M} + \text{H}]^+\}$  400.1297, found 400.1290。

**3c**: 白色固体 265 mg, 产率 68.7%, m. p. 164.1 ~ 165.9  $^\circ\text{C}$ ;  $^1\text{H NMR } \delta$ : 9.99(s, 1H, CHO), 7.88(d,  $J=8.0$  Hz, 2H), 7.36(t,  $J=7.2$  Hz, 4H), 7.31(d,  $J=8.0$  Hz, 2H), 7.23(t,  $J=7.6$  Hz, 2H), 7.12(d,  $J=8.0$  Hz, 4H);  $^{13}\text{C NMR } \delta$ : 190.8, 173.4, 173.0, 156.0, 151.5, 134.2, 129.5, 126.2, 122.3, 121.3; IR  $\nu$ : 3 053(ArH), 2 927( $\text{CH}_3$ ), 2 838( $\text{CH}_3$ ), 1 701( $\text{C}=\text{O}$ )  $\text{cm}^{-1}$ ; MS  $m/z$ : Calcd for  $\text{C}_{22}\text{H}_{15}\text{N}_3\text{O}_4$   $\{[\text{M} + \text{H}]^+\}$  386.1, found 386.1。

**3d**: 白色固体 302 mg, 产率 72.0%, m. p. 148.6 ~ 149.4  $^\circ\text{C}$ ;  $^1\text{H NMR } \delta$ : 10.0(s, 1H, CHO), 7.90(d,  $J=8.0$  Hz, 2H), 7.37(t,  $J=8.0$  Hz, 2H), 7.32(d,  $J=3.6$  Hz, 2H), 7.30(d,  $J=2.8$  Hz, 2H), 7.25(m, 1H), 7.10(m, 4H);  $^{13}\text{C NMR } \delta$ : 190.7, 173.8, 173.6, 173.1, 155.9, 151.4, 149.9, 134.3, 131.2, 129.6, 126.3, 122.8, 122.3, 121.3; IR  $\nu$ : 3 014(ArH), 2 918( $\text{CH}_3$ ), 2 852( $\text{CH}_3$ ), 1 708( $\text{C}=\text{O}$ )  $\text{cm}^{-1}$ ; HR-MS  $m/z$ : Calcd for  $\text{C}_{22}\text{H}_{14}\text{N}_3\text{O}_4$

$\text{Cl}\{[\text{M} + \text{H}]^+\}$  420.0755, found 420.0751。

**3e**: 白色固体 342 mg, 产率 75.3%, m. p. 120.8 ~ 122.0  $^\circ\text{C}$ ;  $^1\text{H NMR } \delta$ : 10.0(s, 1H, CHO), 7.89(dd,  $J=2.0, 8.0$  Hz, 2H), 7.42(d,  $J=2.0$  Hz, 1H), 7.36(m, 2H), 7.30(m, 2H), 7.23(m, 2H), 7.10(m, 3H);  $^{13}\text{C NMR } \delta$ : 190.7, 173.8, 173.2, 155.9, 151.4, 146.4, 142.8, 134.3, 131.2, 130.2, 129.5, 128.1, 126.3, 124.1, 122.2, 121.2; IR  $\nu$ : 3 056(ArH), 1 711( $\text{C}=\text{O}$ )  $\text{cm}^{-1}$ ; MS  $m/z$ : Calcd for  $\text{C}_{22}\text{H}_{13}\text{N}_3\text{O}_4\text{Cl}_2$   $\{[\text{M} + \text{H}]^+\}$  454.0, found 454.0。

## (2) 染料 **4a** ~ **4e** 的合成(以 **4a** 为例)

氮气保护下在反应瓶中加入 **3a** 207 mg(0.5 mmol)、四氢呋喃 10 mL、2,4-二甲基吡咯 98 mg(1.01 mmol), 搅拌下加入三氟乙酸 0.15 mL, 于室温反应 2 h。滴加含有 2,3-二氯-5,6-二氧-1,4-苯醌(DDQ) 114 mg(0.50 mmol) 的四氢呋喃溶液 10 mL, 滴毕(10 min), 反应 1 h。经氧化铝(15 ~ 20 g) 柱层析[洗脱剂:  $V(\text{二氯甲烷}) : V(\text{甲醇}) = 40 : 1$ ] 纯化得棕红色洗脱液, 减压蒸干, 真空干燥 2 h, 氮气保护下加入四氢呋喃 10 mL, 搅拌下加入三乙胺 1.2 mL, 滴加三氟化硼乙醚溶液 1.5 mL, 于室温反应 8 h。加水(30 mL) 淬灭反应, 减压蒸出有机溶剂, 残留物用二氯甲烷(30 mL) 萃取, 萃取液依次用饱和氯化钠溶液( $2 \times 30$  mL) 和水(30 mL) 洗涤, 无水硫酸钠干燥, 减压浓缩后, 经薄层层析[展开剂:  $V(\text{二氯甲烷}) : V(\text{石油醚}) = 1 : 5$ ] 纯化得橙红色固体 **4a** 96.4 mg。

分别用 **3b** ~ **3e** 代替 **3a**, 用类似的方法合成 **4b** ~ **4e**。

**4a**: 产率 30.5%, m. p. 257.2 ~ 258.6  $^\circ\text{C}$ ;  $^1\text{H NMR } \delta$ : 7.38 ~ 7.34(m, 2H), 7.25 ~ 7.17(m, 5H), 7.16(s, 1H), 7.14(s, 1H), 5.98(s, 2H, 2,6-H), 2.56(s, 6H, 3,5-H), 2.29(s, 3H), 2.16(s, 3H), 1.28(s, 6H, 1,7-H);  $^{13}\text{C NMR } \delta$ : 173.9, 173.0, 155.7, 151.6, 148.1, 143.1, 140.5, 135.9, 132.4, 131.9, 131.4, 129.5, 129.0, 127.6, 126.1, 122.2, 121.1, 118.9, 29.7, 20.8, 16.2, 14.5; IR  $\nu$ : 2 962( $\text{CH}_3$ ), 2 922( $\text{CH}_3$ ), 1 548( $\text{C}=\text{C}$ )  $\text{cm}^{-1}$ ; MS  $m/z$ : Calcd for  $\text{C}_{36}\text{H}_{32}\text{N}_5\text{O}_3\text{BF}_2$   $\{[\text{M} + \text{H}]^+\}$  632.3, found 632.3。

**4b**: 橙红色固体 99.1 mg, 产率 32.1%,

m. p. 203.1 ~ 204.9 °C;  $^1\text{H NMR } \delta$ : 7.37 (t,  $J = 7.6$  Hz, 2H), 7.26 ~ 7.20 (m, 5H), 7.16 (d,  $J = 8.0$  Hz, 4H), 7.03 (d,  $J = 8.0$  Hz, 2H), 5.98 (s, 2H, 2,6-H), 2.55 (s, 6H), 2.32 (s, 3H), 1.29 (s, 6H);  $^{13}\text{C NMR } \delta$ : 173.9, 173.0, 155.8, 151.8, 151.6, 149.4, 142.9, 140.4, 135.9, 130.0, 129.2, 125.9, 122.3, 121.6, 121.0, 20.8, 14.5; IR  $\nu$ : 2 953 (CH<sub>3</sub>), 2 920 (CH<sub>3</sub>), 1 566 (C = C) cm<sup>-1</sup>; HR-MS  $m/z$ : Calcd for C<sub>35</sub>H<sub>30</sub>N<sub>5</sub>O<sub>3</sub>BF<sub>2</sub> { [M + H]<sup>+</sup> } 618.248 8, found 618.248 4.

**4c**: 红色黏稠液体 86.1 mg, 产率 28.5%;  $^1\text{H NMR } \delta$ : 7.37 (t,  $J = 7.6$  Hz, 4H), 7.26 ~ 7.20 (m, 6H), 7.15 (d,  $J = 8.0$  Hz, 4H), 5.98 (s, 2H, 2,6-H), 2.55 (s, 6H), 1.30 (s, 6H);  $^{13}\text{C NMR } \delta$ : 173.8, 173.0, 155.8, 151.9, 151.5, 143.1, 140.4, 132.6, 131.4, 129.5, 129.0, 126.2, 122.3, 121.3, 14.6; IR  $\nu$ : 3 057, 2 961 (CH<sub>3</sub>), 2 920 (CH<sub>3</sub>), 1 593 (C = C) cm<sup>-1</sup>; MS  $m/z$ : Calcd for C<sub>34</sub>H<sub>28</sub>N<sub>5</sub>O<sub>3</sub>BF<sub>2</sub> { [M + H]<sup>+</sup> } 604.2, found 604.2.

**4d**: 红色黏稠液体 93.7 mg, 产率 29.4%;  $^1\text{H NMR } \delta$ : 7.39 ~ 7.30 (m, 4H), 7.27 ~ 7.21 (m, 5H), 7.16 ~ 7.13 (m, 2H), 7.10 (dd,  $J = 2.0$  Hz, 8.4 Hz, 2H), 5.98 (s, 2H, 2,6-H), 2.55 (s, 6H), 1.30 (s, 6H);  $^{13}\text{C NMR } \delta$ : 173.8, 173.6, 173.1, 155.8, 151.6, 149.9, 143.0, 140.4, 132.7, 131.4, 129.6, 126.3, 122.8, 122.2, 121.3, 14.5; IR  $\nu$ : 3 055 (ArH), 2 968 (CH<sub>3</sub>), 2 918 (CH<sub>3</sub>), 1 591 (C = C) cm<sup>-1</sup>; HR-MS  $m/z$ : Calcd for C<sub>28</sub>H<sub>22</sub>N<sub>5</sub>O<sub>2</sub>BF<sub>2</sub>Cl<sub>2</sub> [M<sup>+</sup>] 637.186 4, found 637.185 6.

**4e**: 红色黏稠液体 107 mg, 产率 31.9%;  $^1\text{H NMR } \delta$ : 7.43 (s, 1H), 7.37 (t,  $J = 7.6$  Hz, 2H), 7.26 ~ 7.21 (m, 6H), 7.14 (d,  $J = 7.2$  Hz, 3H), 5.99 (s, 2H, 2,6-H), 2.56 (s, 6H), 1.30 (s, 6H);  $^{13}\text{C NMR } \delta$ : 173.9, 173.1, 155.8, 151.8, 151.5, 146.5, 143.0, 140.3, 130.2, 129.5, 129.1, 128.2, 127.9, 126.3, 124.1, 122.1, 121.3, 14.6; IR  $\nu$ : 3 065 (ArH), 2 961 (CH<sub>3</sub>), 2 918 (CH<sub>3</sub>), 1 554 (C = C) cm<sup>-1</sup>; MS  $m/z$ : Calcd for C<sub>34</sub>H<sub>26</sub>N<sub>5</sub>O<sub>3</sub>BF<sub>2</sub>Cl<sub>2</sub> { [M + H]<sup>+</sup> } 672.2, found 672.2.

## 2 结果与讨论

### 2.1 合成

目标产物三枝氟硼二吡咯染料 **4a** ~ **4e** 的合成路线见 Scheme 1, 其中三酚氧基取代 1,3,5-三噁嗪中间体 **3** 的合成是关键步骤。在 **3** 的合成中,4-羟基苯甲醛的选用引入了后续缩合反应所必要的醛基,苯酚作为一种亲核试剂,另外五个含不同取代基的苯酚衍生物 **2a** ~ **2e** 作为亲核进攻的底物。由于 **3** 的合成成为三个不同苯酚类亲核试剂的顺次反应,各种可能的亲核反应活性差别不大,首先需要探索各种可能的双酚取代反应产物的分离和提纯。实验结果表明:在本文所选用的苯酚衍生物中,采用文献报道的将 4-羟基苯甲醛作为第二个亲核试剂的合成方案<sup>[20]</sup>,该方案最为适合,因为含有双醛基的副产物比较容易利用柱层析去除。为了简洁起见,合成过程中始终选用苯酚作为第一个引入的亲核试剂。

在 **3** 的合成中,与文献报道的苯胺衍生物双取代产物<sup>[17]</sup>不同,由于酚氧基相对较弱的给电子效应,原料双取代产物 **1** 中的氯原子具有更强的反应活性,但是在相同的反应条件下(碳酸钠的 H<sub>2</sub>O/THF 溶液,回流)下,初步实验中 **2a** 和 **2e** 均未得到相应的目标产物 **3a** 和 **3e**,尽管 TLC 显示原料已消失。显然,苯酚衍生物 **2** 相对较弱的亲核性不足以与碱性水溶液中的水解过程相竞争。

为避免水解的影响,先以 **2d** 为亲核试剂,选用固体 *N,N*-二甲氨基吡啶 (DMAP) 为傅酸剂以便于溶剂和反应温度的改变,考察了无水溶剂、有机碱作为傅酸剂对合成 **3d** 的影响,结果见表 1。

表 1 溶剂和反应温度对合成 **3d** 的影响

Table 1 Effect of solvents and temperature on synthesis of **3d**

| No. | 溶剂                 | 反应温度/°C | 产率/% |
|-----|--------------------|---------|------|
| 1   | THF                | 回流      | 痕量   |
| 2   | CH <sub>3</sub> CN | 回流      | 52.0 |
| 3   | benzene            | 回流      | 34.3 |
| 4   | toluene            | 110.6   | 30.2 |
| 5   | toluene            | 95      | 32.4 |
| 6   | toluene            | 82      | 31.9 |

由表 1 可以看出,在常规加料比  $n(\mathbf{1}) : n(\mathbf{2d}) : n(\text{DMAP}) = 1 : 1.5 : 2$ 、反应 10 h 条件下,结果表明乙腈为溶剂时,**3d** 产率最高,为 52.0%,

是制备 **3d** 最合适的溶剂。THF 沸点低, 反应温度受到限制。苯和甲苯同样收率不高, 尽管后者可以提供较高的反应温度。因此, 乙腈除了较高的沸点外, 溶剂的极性也应是一个影响因素。而在乙腈中回流反应时间超过 6 h, 产率不再提高。

随后进一步研究了乙腈溶剂中几种常用有机碱对 **3d** 产率的影响, 结果见表 2。

表 2 有机碱对 **3d** 产率的影响

Table 2 Effect of organic bases on yield of **3d**

| 碱    | <i>N,N</i> -二异丙基乙胺 | 三乙胺  | 吡啶   |
|------|--------------------|------|------|
| 产率/% | 72.0               | 68.2 | 58.4 |

由表 2 可以看出, *N,N*-二异丙基乙胺 (DIEA)、三乙胺和吡啶为溶剂时, 收率分别为 72.0%, 68.2% 和 58.4%。说明 *N,N*-二异丙基乙胺的效果最好, 而吡啶相对效果最差, 这可能与几种有机碱的亲核性有关, *N,N*-二异丙基乙胺较大的空间位阻使其自身参与亲核进攻的可能性最低。进一步加大缚酸剂的用量以及延长反应时间 (> 6 h), 均不能有效提高产物的产率。因此, 合成三枝中间体 **3d** 的优化反应条件为: 无水乙腈为溶剂, 加料比  $n(\mathbf{1}) : n(\mathbf{2d}) : n(\text{DIEA}) = 1 : 1.5 : 2$ , 回流反应 6 h。

在该条件下, 合成了系列三枝中间体 **3**, 实验结果见表 3。

表 3 三枝中间体 **3** 和染料 **4** 的产率

Table 3 Yields of tripod intermediates **3** and **4**

| No. | <b>2</b> 上的取代基 | <b>3</b> 产率/% <sup>*</sup> | <b>4</b> 产率/% <sup>a</sup> |
|-----|----------------|----------------------------|----------------------------|
| a   | 2,4-二甲基        | 57.4                       | 30.5                       |
| b   | 4-甲基           | 60.8                       | 32.1                       |
| c   | 4-氢            | 68.7                       | 30.7                       |
| d   | 4-氯            | 72.0                       | 29.4                       |
| e   | 2,4-二氯         | 75.3                       | 31.9                       |

<sup>\*</sup> 以二枝中间体 **1** 计; <sup>a</sup> 以三枝中间体 **3** 计。

由表 3 可以看出, 酚 **2a** ~ **2e** 的结构对反应产率有一定影响, 从 2,4-二甲基苯酚到 2,4-二氯苯酚, 相应的 **3a** ~ **3e** 产率逐步提高。显然, 随着芳环上取代基团吸电子能力的提高, 酚羟基的酸性逐步增加, 在碱性条件下, 酚氧基团的亲核活性逐步增强。

参照文献报道的染料合成过程<sup>[17,20]</sup>, 室温下

三氟乙酸催化 **3a** ~ **3e** 与 2,4-二甲基吡咯缩合、DDQ 氧化、三氟化硼配位、色谱分离, 分别得到五种新型含双酚衍生物三枝氟硼二吡咯染料 **4a** ~ **4e**, 产率较好。

## 2.2 表征

三枝中间体 **3b** 的 <sup>1</sup>H NMR 分析显示了 δ 9.9 处的醛基氢吸收峰, δ 2.34 处显示有甲基的单峰, <sup>13</sup>C NMR (δ 190.7) 和 IR (1 700 cm<sup>-1</sup> 处的强烈吸收带) 分析同时也证明了醛基的存在。HR-MS 分析表明分子离子峰位于 400.129 0 { [M + H]<sup>+</sup> }, 证明其结构正确。

对于染料 **4b**, <sup>1</sup>H NMR 分析显示 δ 5.98 处有 BODIPY 环上的 2-位和 6-位两个质子的吸收单峰。HR-MS 谱中 618.248 4 { [M + H]<sup>+</sup> } 确证染料结构。而染料 **4d** 的 HR-MS 谱中强度为 3 : 1 的 637.185 6 峰 [M<sup>+</sup>] 和 639.186 8 峰 { [M + 2]<sup>+</sup> }, 确证了结构中一个氯原子的存在。

## 2.3 光物理性能

对 **4d** 进行了光谱分析, 图 1 为 **4d** 在不同溶剂中的吸收曲线和在乙腈中的荧光光谱。由图 1 可见, 这种新型染料具有氟硼二吡咯荧光核典型的光物理性能, 最大吸收和最大发射波长分别位于 499 nm 和 508 nm 附近。

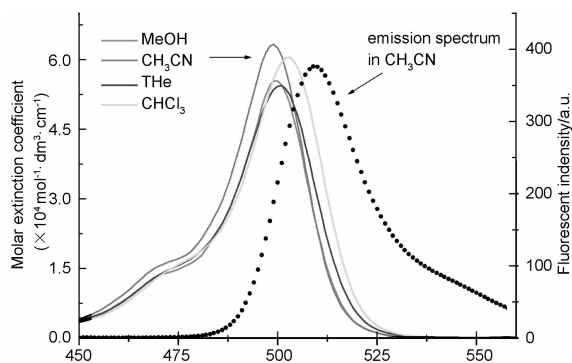


图 1 **4d** 在不同溶剂中的吸收曲线和在乙腈中的荧光光谱 (激发波长 499 nm)

Figure 1 The normalized absorption spectra in different solvents and fluorescence spectrum in CH<sub>3</sub>CN (excitation at 499 nm) of **4d**

对 5 种新型染料进行了光物理性能分析 (表 4), 均显示氟硼二吡咯荧光核典型的光物理性能, 最大吸收和最大发射波长分别在 499 nm 和 508 nm 附近, 摩尔消光系数在 60 000 mol · L<sup>-1</sup> 左

右,荧光量子产率为 0.41 ~ 0.55,斯托克斯位移值均较小(316 ~ 355  $\text{cm}^{-1}$ )。

表 4 染料的光物理数据(乙腈溶剂,25  $^{\circ}\text{C}$ )

Table 4 Photophysical data of dyes in  $\text{CH}_3\text{CN}$  at 25  $^{\circ}\text{C}$

| 染料 | $\lambda_{\text{abs}}/\text{nm}$ | $\lambda_{\text{em}}/\text{nm}$ | $\varepsilon/(\text{mol} \cdot \text{L}^{-1})$ | Stokes shift<br>$/\text{cm}^{-1}$ | $\Phi_{\text{f}}^{\text{a}}$ |
|----|----------------------------------|---------------------------------|--|-----------------------------------|------------------------------|
| 4a | 499                              | 507                             | 61 520   | 316                               | 0.51                         |
| 4b | 499                              | 508                             | 60 870   | 355                               | 0.55                         |
| 4c | 499                              | 507                             | 59 500   | 316                               | 0.50                         |
| 4d | 499                              | 508                             | 63 020   | 355                               | 0.42                         |
| 4e | 499                              | 508                             | 61 350   | 355                               | 0.41                         |

<sup>a</sup>以 0.1  $\text{mol} \cdot \text{L}^{-1}$  荧光素的 NaOH 水溶液为标准 ( $F_{\text{f}} = 0.85$ )<sup>[20]</sup>。

### 3 结论

设计并合成了 5 个新型的含双酚衍生物的三枝氟硼二吡咯染料,探索了苯酚类亲核试剂的反应顺序、溶剂、反应温度和有机碱种类等影响因素,在优化的第三步反应条件下,三酚氧基取代的 1,3,5-三噁嗪中间体最高产率可达 75.3%。研究发现酚亲核试剂上侧链的取代基对反应产率有一定影响,从 2,4-二甲基苯酚到 2,4-二氯苯酚,随着吸电子能力的提高,相应的取代反应产率从 57.4% 提高至 75.3%。所得染料具有典型的氟硼二吡咯荧光核的光物理性能。该研究工作有助于进一步拓展该结构的多样性。

### 参考文献

- [1] Ulrich G, Zissel R, Harriman A. The chemistry of fluorescent bodipy dyes: Versatility unsurpassed [J]. *Angew Chem Int Ed*, 2008, **47**(7): 1184 - 1201.
- [2] Loudet A, Burgess K. BODIPY dyes and their derivatives: Syntheses and spectroscopic properties [J]. *Chemical reviews*, 2007, **107**(11): 4891 - 4932.
- [3] Jia X, Yu X, Yang X, *et al.* A highly selective copper fluorescent indicator based on aminoquinoline substituted BODIPY [J]. *Dyes and Pigments*, 2013, **98**(2): 195 - 200.
- [4] Isik M, Ozdemir T, Turan I S, *et al.* Chromogenic and fluorogenic sensing of biological thiols in aqueous solutions using BODIPY-based reagents [J]. *Organic letters*, 2012, **15**(1): 216 - 219.
- [5] Wu W, Guo H, Wu W, *et al.* Organic triplet sensi-

- zer library derived from a single chromophore (BODIPY) with long-lived triplet excited state for triplet-triplet annihilation based upconversion [J]. *J Org Chem*, 2011, **76**(17): 7056 - 7064.
- [6] Lim S H, Thivierge C, Nowak-Sliwinska P, *et al.* *In vitro* and *in vivo* photocytotoxicity of boron dipyrromethene derivatives for photodynamic therapy [J]. *Journal of medicinal chemistry*, 2010, **53**(7): 2865 - 2874.
- [7] Ni Y, Lee S, Son M, *et al.* A diradical approach towards BODIPY-based dyes with intense near-infrared absorption around  $\lambda = 1\ 100\ \text{nm}$  [J]. *Angewandte Chemie International Edition*, 2016, **55**(8): 2815 - 2819.
- [8] Boens N, Verbelen B, Dehaen W. Post functionalization of the BODIPY core: Synthesis and spectroscopy [J]. *European Journal of Organic Chemistry*, 2015, **30**: 6577 - 6595.
- [9] Jiang X D, Zhang H, Zhang Y, *et al.* Development of non-symmetric thiophene-fused BODIPYs [J]. *Tetrahedron*, 2012, **68**(47): 9795 - 9801.
- [10] Okujima T, Tomimori Y, Nakamura J, *et al.* Synthesis of  $\pi$ -expanded BODIPYs and their fluorescent properties in the visible-near-infrared region [J]. *Tetrahedron*, 2010, **66**(34): 6895 - 6900.
- [11] Rihn S, Retailleau P, Bugsaliewicz N, *et al.* Versatile synthetic methods for the engineering of thiophene-substituted bodipy dyes [J]. *Tetrahedron Letters*, 2009, **50**(50): 7008 - 7013.
- [12] Lee H Y, Bae D R, Park J C, *et al.* A selective fluoroionophore based on BODIPY-functionalized magnetic silica nanoparticles: Removal of  $\text{Pb}^{2+}$  from human blood [J]. *Angewandte Chemie*, 2009, **121**(7): 1265 - 1269.
- [13] Ueno T, Urano Y, Kojima H, *et al.* Mechanism-based molecular design of highly selective fluorescence probes for nitrate stress [J]. *J Am Chem Soc*, 2006, **128**(33): 10640 - 10641.
- [14] Lu H, Zhang S S, Liu H Z, *et al.* Experimentation and theoretic calculation of a BODIPY sensor based on photoinduced electron transfer for ions detection [J]. *The Journal of Physical Chemistry A*, 2009, **113**(51): 14081 - 14086.
- [15] Dodani S C, He Q, Chang C J. A turn-on fluorescent sensor for detecting nickel in living cells [J]. *Journal of the American Chemical Society*, 2009, **131**(50): 18020 - 18021.
- [16] Rurack K, Kollmannsberger M, Resch-Genger U, *et al.* A selective and sensitive fluoroionophore for

- HgII, AgI, and CuII with virtually decoupled fluorophore and receptor units[J]. *Journal of the American Chemical Society*, 2000, **122**(5):968–969.
- [17] Qi X, Kim S K, Han S J, *et al.* Study on the BODIPY-triazine-based tripod fluorescent systems: Various structures from similar procedure[J]. *Supramolecular Chemistry*, 2009, **21**(6):455–464.
- [18] Röhr H, Trieflinger C, Rurack K, *et al.* Proton- and redox-controlled switching of photo- and electrochemiluminescence in thiophenyl-substituted boron-dipyrromethene dyes[J]. *Chemistry—A European Journal*, 2006, **12**(3):689–700.
- [19] Lazarides T, Charalambidis G, Vuillamy A, *et al.* Promising fast energy transfer system *via* an easy synthesis: Bodipy-porphyrin dyads connected *via* a cyanuric chloride bridge, their synthesis, and electrochemical and photophysical investigations [J]. *Inorganic chemistry*, 2011, **50**(18):8926–8936.
- [20] Lu J, Qi X, Yue T, *et al.* Synthesis and photophysical properties of tripod BODIPY dyes bearing monophenolic derivatives[J]. *Tetrahedron*, 2015, **71**(8):1304–1310.



(上接第 565 页)

- [12] Liang D Q, Wang M, Bekturhun B. ChemInform abstract: One-pot synthesis of polyfunctionalized 4*H*-chromenes and dihydrocoumarins based on copper(II) bromide-catalyzed C—C coupling of benzylic alcohols with ketene dithioacetals[J]. *Adv Synth Catal*, 2010, **352**(10):1593–1599.
- [13] Dong Y, Wang M, Liu J. Cheminform abstract: Aerobic, Cu-catalyzed desulfitative C—C bond-forming reaction of ketene dithioacetals/vinylogous thioesters and arylboronic acids [J]. *Chem Commun*, 2011, **47**(26):7380–7382.
- [14] 于海丰, 廖沛球. 噻烯衍生物的水相合成[J]. *化学通报*, 2013, **76**(5):435–439.
- [15] 于海丰, 廖沛球. 脲的无气味硫缩醛/酮化反应[J]. *高等学校化学学报*, 2012, **33**(9):1969–1972.
- [16] 于海丰, 王东来, 赵辉, 等. 无气味代硫醇试剂的合成与应用研究进展[J]. *有机化学*, 2011, **31**(11):1949–1960.
- [17] Kureshy R I, Khan N H, Abdi S H R, *et al.* Immobilization of dicationic Mn(III) salen in the interlayers of montmorillonite clay for enantioselective epoxidation of nonfunctionalized alkenes[J]. *Catalysis Letters*, 2015, **61**(91):207–210.
- [18] Yu H F, Liao P Q. Iron chloride hexahydrate-catalyzed Friedel-Crafts alkylation of cyclic ketene dithioacetals with alcohols[J]. *Chem Res Chin Univ*, 2016, **32**(3):390–395.
- [19] Yin Y B, Wang M, Liu Q, *et al.* A C—C bond formation reaction at the  $\alpha$ -carbon atom of  $\alpha$ -oxo ketene dithioacetals *via* the Baylis-Hillman type reaction[J]. *Tetrahedron Lett*, 2005, **46**(25):4399–4402.
- [20] Zhang Q, Liu Y, Wang M, *et al.* Highly efficient C—C bond-forming reactions of an  $\alpha$ -cyanoketene dithioacetal with aldehydes and ketones[J]. *Synthesis*, 2006, **2006**(18):3009–3014.
- [21] 李记太, 蔺志平. 蒙脱土 K10-ZnCl<sub>2</sub> 催化下研磨法合成二咪唑甲烷衍生物[J]. *有机化学*, 2008, **28**(7):1238–1242.